

Docket No. 217782US2

IN THE UNITED STATES PATENT AND TRADEMARK OFFICE

IN RE APPLICATION OF: Loic BRUNEL

GAU:

EXAMINER:

SERIAL NO: NEW APPLICATION

FILED: HEREWITH

FOR: SIMPLIFIED METHOD OF DETECTION BY SPHERES WHEN THERE IS A LOW SIGNAL TO NOISE RATIO

REQUEST FOR PRIORITY

ASSISTANT COMMISSIONER FOR PATENTS
WASHINGTON, D.C. 20231

SIR:

- ☐ Full benefit of the filing date of U.S. Application Serial Number , filed , is claimed pursuant to the provisions of 35 U.S.C. §120.
- ☐ Full benefit of the filing date of U.S. Provisional Application Serial Number , filed , is claimed pursuant to the provisions of 35 U.S.C. §119(e).
- ☒ Applicants claim any right to priority from any earlier filed applications to which they may be entitled pursuant to the provisions of 35 U.S.C. §119, as noted below.

In the matter of the above-identified application for patent, notice is hereby given that the applicants claim as priority:

COUNTRY

APPLICATION NUMBER

MONTH/DAY/YEAR

France

01 00627

January 15, 2001

Certified copies of the corresponding Convention Application(s)

- ☒ are submitted herewith
- ☐ will be submitted prior to payment of the Final Fee
- ☐ were filed in prior application Serial No. filed
- ☐ were submitted to the International Bureau in PCT Application Number
Receipt of the certified copies by the International Bureau in a timely manner under PCT Rule 17.1(a) has been acknowledged as evidenced by the attached PCT/IB/304.
- ☐ (A) Application Serial No.(s) were filed in prior application Serial No. filed ; and
- ☐ (B) Application Serial No.(s)
- ☐ are submitted herewith
- ☐ will be submitted prior to payment of the Final Fee

Respectfully Submitted,

OBLON, SPIVAK, McCLELLAND,
MAIER & NEUSTADT, P.C.

Marvin J. Spivak

Registration No. 24,913

C. Irvin McClelland
Registration Number 21,124



22850

Tel. (703) 413-3000
Fax. (703) 413-2220
(OSMMN 10/98)

RS
2
3-21-02
1c971 U.S. PTO
10/029953
12/31/01

THIS PAGE BLANK (USPTO)



10/029953
12/31/01
10/029953
12/31/01

BREVET D'INVENTION

CERTIFICAT D'UTILITÉ - CERTIFICAT D'ADDITION

COPIE OFFICIELLE

Le Directeur général de l'Institut national de la propriété industrielle certifie que le document ci-annexé est la copie certifiée conforme d'une demande de titre de propriété industrielle déposée à l'Institut.

Fait à Paris, le 19 JUIN 2001

Pour le Directeur général de l'Institut
national de la propriété industrielle
Le Chef du Département des brevets

Martine PLANCHE

**CERTIFIED COPY OF
PRIORITY DOCUMENT**

INSTITUT
NATIONAL DE

SIEGE
26 bis, rue de Saint Petersburg
75800 PARIS cedex 08
Téléphone : 33 (1) 53 04 53 04

THIS PAGE BLANK (USPTO)

INPIINSTITUT
NATIONAL DE
LA PROPRIÉTÉ
INDUSTRIELLE26 bis, rue de Saint Pétersbourg
75800 Paris Cedex 08

Téléphone : 01 53 04 53 04 Télécopie : 01 42 94 86 54

**BREVET D'INVENTION
CERTIFICAT D'UTILITÉ**

Code de la propriété intellectuelle – Livre VI

cerfa

N°11354*01


REQUETE EN DELIVRANCE 1/2

Cet imprimé est à remplir lisiblement à l'encre noire DD 540W/200899

REMISE DES PIÈCES DATE 15.01.2007 LIEU 99 N° ENREGISTREMENT 0100627 NATIONAL ATTRIBUE PAR L'INPI DATE DE DÉPÔT ATTRIBUÉE PAR L'INPI 15 JAN. 2001		Réservé à l'INPI <input checked="" type="checkbox"/> NOM ET ADRESSE DU DEMANDEUR OU DU MANDATAIRE QUI LA CORRESPONDANCE DOIT ÊTRE ADRESSÉE Monsieur MAILLET Alain Cabinet LE GUEN & MAILLET 5, place Newquay B.P. 70250 35802 DINARD CEDEX	
Vos références pour ce dossier : 7718 (facultatif)			
Confirmation d'un dépôt par télécopie		<input checked="" type="checkbox"/> N° attribué par l'INPI à la télécopie	
<input checked="" type="checkbox"/> NATURE DE LA DEMANDE		Cochez l'une des 4 cases suivantes	
Demande de brevet		<input checked="" type="checkbox"/>	
Demande de certificat d'utilité		<input type="checkbox"/>	
Demande divisionnaire		<input type="checkbox"/>	
Demande de brevet initiale Ou demande de certificat d'utilité initiale		N° N°	Date Date
Transformation d'une demande de Brevet européen		<input type="checkbox"/>	Date
Demande de brevet initiale		N°	Date
<input type="checkbox"/> TITRE DE L'INVENTION (200 caractères ou espaces maximum)			
Méthode simplifiée de détection par sphères en présence de faible rapport signal à bruit			
<input type="checkbox"/> DECLARATION DE PRIORITE OU REQUETE DU BENEFICE DE LA DATE DE DEPOT D'UNE DEMANDE ANTERIEURE FRANCAISE		Pays ou organisation Date N° Pays ou organisation Date N° Pays ou organisation Date N° <input type="checkbox"/> s'il y a d'autres priorités, cochez la case et utilisez l'imprimé "Suite"	
<input type="checkbox"/> DEMANDEUR		<input type="checkbox"/> s'il y a d'autres demandeurs, cochez la case et utilisez l'imprimé "suite"	
Nom ou dénomination social		MITSUBISHI ELECTRIC INFORMATION TECHNOLOGY CENTRE EUROPE B.V.	
Prénoms			
Forme Juridique		SARL de droit néerlandais	
N° SIREN			
Code APE-NAF			
Adresse	Rue	Keienbergweg 58 1101 AG AMSTERDAM ZUIDOOST	
	Code postal et ville		
Pays		PAYS-BAS	
Nationalité		Néerlandaise	
N° de téléphone (facultatif)			
N° de télécopie (facultatif)			
Adresse électronique (facultatif)			

INPIINSTITUT
NATIONAL DE
LA PROPRIÉTÉ
INDUSTRIELLE**BREVET D'INVENTION
CERTIFICAT D'UTILITE**

REQUETE EN DELIVRANCE 2/2

REMISE DES PIÈCES		DATE		LIEU		N° ENREGISTREMENT		NATIONAL ATTRIBUE PAR L'INPI	
		Réservé à l'INPI		15.01.2004		0100627			
Vos références pour ce dossier : (facultatif)				7718					
≈ MANDATAIRE									
Nom				MAILLET					
Prénom				Alain					
Cabinet ou Société				Cabinet LE GUEN & MAILLET					
N° de pouvoir permanent et/ou de lien contractuel									
Adresse		Rue		5, place Newquay B.P. 70250					
		Code postal et ville		35802		DINARD Cedex			
N° de téléphone (facultatif)				02 99 46 55 19					
N° de télécopie (facultatif)				02 99 46 41 80					
Adresse électronique (facultatif)				Leguen.maillet@wanadoo.fr					
... INVENTEUR (S)									
Les inventeurs sont les demandeurs				<input type="checkbox"/> Oui <input checked="" type="checkbox"/> Non Dans ce cas fournir une désignation d'inventeur (s) séparée					
RAPPORT DE RECHERCHE				Uniquement pour une demande de brevet (y compris division et transformation)					
Etablissement immédiat ou établissement différé				<input checked="" type="checkbox"/> <input type="checkbox"/>					
Paiement échelonné de la redevance				Paiement en trois versements, uniquement pour les personnes physiques <input type="checkbox"/> Oui <input type="checkbox"/> Non					
REDUCTION DU TAUX DES REDEVANCES				Uniquement pour les personnes physiques. <input type="checkbox"/> Requête pour la première fois pour cette invention (joindre un avis de non-imposition) <input type="checkbox"/> Requête antérieurement à ce dépôt (joindre une copie de la décision d'admission pour cette invention ou indiquer sa référence) :					
Si vous avez utilisé l'imprimé "suite", Indiquez le nombre de pages jointes									
SIGNATURE DU DEMANDEUR OU DU MANDATAIRE (Nom et qualité du signataire)				VISA DE LA PREFECTURE OU DE L'INPI					
A. MAILLET 923035									

La loi n°78-17 du 6 janvier 1978 relative à l'informatique, aux fichiers et aux libertés s'applique aux réponses faites à ce formulaire.
Elle garantit un droit d'accès et de rectification pour les données vous concernant auprès de l'INPI

INPIINSTITUT
NATIONAL DE
LA PROPRIÉTÉ
INDUSTRIELLE

DEPARTEMENT DES BREVETS

26 bis, rue de Saint Pétersbourg

75800 Paris Cedex 08

Téléphone : 01 53 04 53 04 Télécopie : 01 42 94 86 54

**BREVET D'INVENTION
CERTIFICAT D'UTILITÉ**

Code de la propriété intellectuelle – Livre VI

cerfa

N°11235*02

DESIGNATION DE L'INVENTEUR (S) Page N° .../...
(si le demandeur n'est pas l'inventeur ou l'unique inventeur)

Cet imprimé est à remplir lisiblement à l'encre noire

DB 113 W/260899

Vos références pour ce dossier (facultatif)		7718	
N° D'ENREGISTREMENT NATIONAL 0100627			
TITRE DE L'INVENTION (200 caractères ou espaces maximum) Méthode simplifiée de détection par sphères en présence de faible rapport signal à bruit			
LE(S) DEMANDEUR(S) : MITSUBISHI ELECTRIC INFORMATION TECHNOLOGY CENTRE EUROPE B.V. Keienbergweg 58 1101 AG AMSTERDAM ZUIDOOST PAYS-BAS			
DESIGNE (NT) EN TANT QU'INVENTEUR(S) : (Indiquez en haut à droite "page N°1/1" S'il y a plus de trois inventeurs, utilisez un formulaire identique et numérotez chaque page en indiquant le nombre total de pages).			
Nom		BRUNEL	
Prénoms		Loïc	
Adresse	Rue	Immeuble Germanium 80, avenue des Buttes de Coësmes	
	Code postal et ville	35700	RENNES
Société d'appartenance (facultatif)			
Nom			
Prénoms			
Adresse	Rue		
	Code postal et ville		
Société d'appartenance (facultatif)			
Nom			
Prénoms			
Adresse	Rue		
	Code postal et ville		
Société d'appartenance (facultatif)			
SIGNATURE DU DEMANDEUR OU DU MANDATAIRE (Nom et qualité du signataire)		A. MAILLET 92 3036	

THIS PAGE BLANK (USPTO)

La présente invention concerne une méthode et un dispositif de détection multi-utilisateur. Plus particulièrement, la présente invention concerne une méthode et un dispositif de détection multi-utilisateur pour un système de télécommunication DS-CDMA ou MC-CDMA.

5 Dans un système de télécommunication mobile DS-CDMA (*Direct Sequence Code Division Multiple Access*), la séparation des communications en provenance ou à destination des différents utilisateurs est réalisée en multipliant chaque symbole complexe d'un utilisateur par une séquence d'étalement qui est propre à ce dernier, encore appelée pour cette raison signature de l'utilisateur. La fréquence d'étalement
10 (chip rate) étant supérieure à la fréquence des symboles, le signal transmis par chaque utilisateur est distribué (ou étalé) dans l'espace des fréquences. Le rapport entre la bande occupée par le signal étalé et la bande occupée par le signal d'information est appelé facteur d'étalement. A la réception, la séparation d'un utilisateur donné est obtenue grâce à un filtrage adapté à la signature correspondante. Lorsque le canal de
15 transmission présente une pluralité de trajets de propagation, la sortie du filtrage adapté comporte autant de pics de corrélation. Chaque trajet du canal peut être modélisé par un coefficient multiplicatif complexe et un retard. Les signaux s'étant propagés selon les différents trajets peuvent être alignés et combinés au moyen de coefficients complexes conjugués des coefficients de trajet, réalisant ainsi un filtrage
20 adapté au canal de transmission. Pour simplifier la terminologie nous engloberons dans l'expression générale « filtrage adapté à l'utilisateur k » à la fois l'opération de filtrage adapté à la signature de l'utilisateur k et celle de filtrage adapté au canal de transmission.

Pour combattre l'interférence entre signaux à destination (liaison descendante)
25 ou en provenance (liaison montante) des différents utilisateurs, il a été proposé des méthodes de détection multi-utilisateur et notamment des méthodes de détection itératives telles que celles connues sous le nom de PIC (*Parallel Interference Cancellation*) et SIC (*Serial Interference Cancellation*). Elles sont fondées sur l'itération d'un cycle d'élimination des interférences comportant l'estimation des
30 symboles émis, l'évaluation des interférences et leur soustraction des signaux reçus. Bien que performantes, ces méthodes ne sont pas optimales dans la mesure où elles ne fournissent pas une estimation au sens du maximum de vraisemblance des symboles transmis par les différents utilisateurs.

Une méthode de détection multi-utilisateur à maximum de vraisemblance inspirée de l'algorithme de Viterbi a été proposée par S. Verdu dans un article intitulé « Minimum probability of error for asynchronous Gaussian multiple access channels » publié dans IEEE Transactions on Information Theory, pages 85-96, Janvier 1986
 5 mais sa complexité est prohibitive car elle varie de manière exponentielle avec le nombre d'utilisateurs.

Plus récemment il a été proposé par L. Brunel et al., dans un article intitulé « Euclidian space lattice decoding for joint detection in CDMA system » publié dans Proceedings of ITW, page 129, Juin 1999, une méthode de détection multi-utilisateur
 10 à maximum de vraisemblance utilisant une représentation par réseau de points. Selon cette méthode on détermine un vecteur caractéristique du signal reçu représentant une statistique suffisante pour la détection au maximum de vraisemblance des symboles transmis par les différents utilisateurs. On montre sous certaines conditions que le vecteur caractéristique peut être représenté comme le point d'un réseau perturbé par
 15 un bruit. La détection consiste alors à rechercher le point du réseau le plus proche du point correspondant au vecteur reçu. Cependant, la dimension du réseau à utiliser étant en général de $2K$ où K est le nombre d'utilisateurs le nombre de points à tester est élevé. Pour simplifier la détection, il a été proposé de limiter la recherche du plus proche voisin aux points du réseau appartenant à une sphère centrée autour du point
 20 reçu. Nous exposerons ci-après cette méthode de détection simplifiée dite « méthode de détection par sphères » :

Nous nous plaçons dans le contexte d'un système de télécommunication mobile à accès multiple avec étalement de spectre par séquences directes (DS-CDMA) comprenant K utilisateurs communiquant de manière synchrone avec une station de
 25 base.

Soit $d_k(i)$ le symbole complexe émis par l'utilisateur k à l'instant i . Ce symbole appartient à la constellation de modulation A_k utilisée par l'utilisateur k , que l'on appellera encore alphabet de symboles de l'utilisateur k . Chaque utilisateur k transmet un bloc de N symboles avec une amplitude du signal a_k . Les symboles sont
 30 étalés par une signature complexe $s_k(t) = s_k^R(t) + j.s_k^I(t)$ de durée égale à la période symbole T :

$$s_k(t) = 0 \text{ si } t \notin [0, T[$$

Les K symboles complexes $d_k(i) = d_k^R(i) + j.d_k^I(i)$ transmis à l'instant i sont placés dans un vecteur ligne de valeurs réelles $\mathbf{d}_2(i)$ défini comme :

$$\mathbf{d}_2(i) = (d_1^R(i), d_1^I(i), \dots, d_K^R(i), d_K^I(i)) \quad (1)$$

Le signal modulé correspondant est alors, en fonction du temps t :

$$S_t = \sum_{i=0}^{N-1} \sum_{k=1}^K a_k d_k(i) s_k(t - iT) \quad (2)$$

Nous supposons que le canal est un canal idéal à bruit blanc additif gaussien. Soit $n = S_t + \eta_t$ le signal reçu au temps t et η_t un bruit gaussien complexe de moyenne nulle et dont les composantes ont une variance N_0 .

Soit le vecteur ligne $\mathbf{y}_2(i) = (y_1^R(i), y_1^I(i), \dots, y_K^R(i), y_K^I(i))$ tel que $y_k(i) = y_k^R(i) + j.y_k^I(i)$ soit la sortie complexe à l'instant i du filtre adapté à l'utilisateur k :

$$\begin{aligned} y_k(i) &= \int_{-\infty}^{\Delta + \infty} s_k^*(t - iT) n dt \\ &= \sum_{\ell=1}^K a_\ell d_\ell(i) \int_0^T s_\ell(t) s_k^*(t) dt + n_k(i) \\ &= \sum_{\ell=1}^K a_\ell d_\ell(i) R_{\ell k} + n_k(i) \end{aligned} \quad (3)$$

$$\text{avec } R_{\ell k} = \int_0^T s_\ell(t) s_k^*(t) dt = R_{\ell k}^R + j.R_{\ell k}^I \text{ pour } k, \ell = 1, \dots, K \text{ et } n_k(i) = \int_0^T \eta_t s_k^*(t - iT) dt$$

La matrice \mathbf{R} d'autocorrélation des séquences d'étalement dépend en général de l'indice i car les signatures des différents utilisateurs peuvent changer au cours du temps. Cependant, pour des raisons de simplification de notation, nous omettrons cet indice par la suite.

Si l'on décompose les éléments complexes de (3) en leurs parties réelles et imaginaires, on obtient :

$$[y_k^R(i) + j.y_k^I(i)] = \sum_{\ell=1}^K a_\ell [b_\ell^R(i) R_{\ell k}^R - b_\ell^I(i) R_{\ell k}^I] + j \sum_{\ell=1}^K a_\ell [b_\ell^R(i) R_{\ell k}^I + b_\ell^I(i) R_{\ell k}^R] + [n_k^R(i) + j.n_k^I(i)] \quad (4)$$

Soient $\mathbf{A}_2 = \text{Diag}(a_1, a_1, \dots, a_K, a_K)$ et \mathbf{R}_2 la matrice de taille $2K \times 2K$ telle que :

$$\mathbf{R}_2 = \begin{bmatrix} R_{11}^R & R_{11}^I & \dots & R_{1K}^R & R_{1K}^I \\ -R_{11}^I & R_{11}^R & \dots & -R_{1K}^I & R_{1K}^R \\ \vdots & \vdots & \ddots & \vdots & \vdots \\ R_{K1}^R & R_{K1}^I & \dots & R_{KK}^R & R_{KK}^I \\ -R_{K1}^I & R_{K1}^R & \dots & -R_{KK}^I & R_{KK}^R \end{bmatrix} \quad (5)$$

L'équation (4) peut alors se mettre sous forme matricielle :

$$y_2(i) = d_2(i)M_2 + n_2(i) \quad (6)$$

5

où M_2 est une matrice réelle de taille $2K \times 2K$ définie par $M_2 = A_2 R_2$ et où le vecteur de bruit $n_2(i) = (n_1^R(i), n_1^I(i), \dots, n_K^R(i), n_K^I(i))$ a pour matrice de covariance $N_0 R_2$.

Nous démontrerons ci-après que $y_2(i)$, tel que donné par l'équation (6), peut être représenté comme un point d'un réseau Λ_2 de dimension $2.K$, de matrice génératrice

10 M_2 corrompu par un bruit n_2 .

Nous appellerons réseau réel de points Λ de dimension κ tout ensemble de vecteurs de R^κ vérifiant :

$$x = b_1 v_1 + b_2 v_2 + \dots + b_\kappa v_\kappa \text{ où } b_i \in \mathbb{Z}, \forall i = 1, \dots, \kappa$$

et où $\{v_1, v_2, \dots, v_\kappa\}$ est une base sur R^κ .

Un exemple de réseau de points de dimension 2 a été représenté en Fig. 1.

Les points du réseau forment un sous-groupe abélien additif de R^κ , c'est d'ailleurs le plus petit sous-groupe de R^κ contenant les vecteurs $\{v_1, v_2, \dots, v_\kappa\}$ et un \mathbb{Z} -module de R^κ . Ces vecteurs de base forment les lignes de la matrice génératrice G du réseau. On peut donc écrire $x = bG$ où $b = (b_1, \dots, b_\kappa) \in \mathbb{Z}^\kappa$. (7)

La région délimitée par les vecteurs de base est appelée paralléloépe fondamental et son volume, noté $\text{vol}(\Lambda)$ ou $\det(\Lambda)$, est nommé volume fondamental.

20 Ce volume fondamental n'est autre que le module du produit vectoriel des κ vecteurs de base et est donc égal à $|\det(G)|$ où $\det(\cdot)$ désigne le déterminant. S'il existe plusieurs choix possibles pour la matrice génératrice d'un même réseau, il n'existe par contre qu'une unique valeur pour le volume fondamental.

25 La région de Voronoï V ou cellule de Dirichlet d'un point x appartenant au réseau est l'ensemble des points de R^κ plus proches de x que de tout autre point du réseau. Le volume de cette région est égal au volume fondamental.

30 Le rayon d'empilement ρ du réseau est le rayon de la plus grande sphère inscrite dans la région de Voronoï et le rayon de recouvrement celui de la plus petite sphère circonscrite à cette même région. Le rayon d'empilement est donc le rayon des sphères dont l'empilement constitue le réseau de points et le rayon de recouvrement est celui des sphères les plus petites qui, centrées sur les points du réseau, permettent de recouvrir tout l'espace R^κ . La densité du réseau est le rapport entre le volume de la

sphère de rayon ρ et le volume fondamental. Enfin, le coefficient d'erreur (kissing number) $\tau(\Lambda)$ du réseau est le nombre de sphères tangentes à une même sphère dans l'empilement ou, en d'autres termes, le nombre de voisins d'un point du réseau, situés à la distance minimale $d_{\text{Emin}} = 2\rho$.

- 5 Considérons à nouveau l'équation (6). Les composantes du vecteur $\mathbf{d}_2(i)$ appartiennent à un alphabet fini A de cardinal :

$$\text{Card}(A) = \prod_{k=1}^K \text{Card}(A_k) \quad (8)$$

Nous appellerons A la constellation du système (ou simplement constellation) par opposition aux A_k dites constellations de modulation.

- 10 Supposons par exemple que les composantes $d_k^R(i)$ et $d_k^I(i)$ soient des symboles de modulation PAM d'ordre M :

$$d_k^R(i) \in \{-M+1, -M+3, \dots, M-3, M-1\} \text{ et} \quad (9)$$

$$15 \quad d_k^I(i) \in \{-M+1, -M+3, \dots, M-3, M-1\} \quad (10)$$

Si l'on effectue la transformation :

$$d_k^R(i) \mapsto \frac{1}{2}(d_k^R(i) + M - 1) \text{ et } d_k^I(i) \mapsto \frac{1}{2}(d_k^I(i) + M - 1) \text{ soit encore de manière vectorielle :}$$

$$20 \quad \mathbf{d}'_2(i) = \frac{1}{2}(\mathbf{d}_2(i) + \mathbf{v}_M) \quad (11)$$

où $\mathbf{v}_M = (M-1, M-1, \dots, M-1)$

- 25 les composantes $d_k^R(i)$ et $d_k^I(i)$ sont des éléments de \mathbb{Z} et par suite $\mathbf{d}'_2(i)$ est un vecteur de \mathbb{Z}^{2K} .

De manière générale, s'il existe une transformation affine transformant les composantes $d_k^R(i)$ et $d_k^I(i)$ en des éléments de \mathbb{Z} , on peut représenter le vecteur $\mathbf{d}'_2(i)$ par un vecteur de \mathbb{Z}^{2K} .

- 30 De manière similaire, on effectue la transformation correspondante sur $\mathbf{y}_2(i)$, c'est-à-dire :

$$y_2(i) = \frac{1}{2}(y_2(i) + v_M M_2) \quad (12)$$

Moyennant cette transformation, que nous supposons implicite dans la suite, le vecteur $d_2(i)M_2$ appartient alors à un réseau de points Λ_2 de dimension $2K$ tel que
 5 défini par la relation (7) avec $G=M_2$. Le vecteur $y_2(i)$ peut donc être considéré comme un point du réseau Λ_2 corrompu par un bruit $n_2(i)$.

Si l'on suppose que les composantes du vecteur de bruit $n_2(i)$ sont des variables aléatoires indépendantes gaussiennes centrées, le problème de la détection au sens du maximum de vraisemblance des symboles émis par les différents utilisateurs se
 10 ramène à la recherche du point z_2 du réseau Λ_2 tel que sa distance à $y_2(i)$ soit minimale.

En réalité, les composantes du vecteur de bruit $n_2(i)$ sont corrélées et la matrice de covariance de $n_2(i)$ est $N_0 R_2$.

Afin de se ramener au cas décorrélié il faut effectuer préalablement au décodage
 15 une opération de blanchiment du bruit.

La matrice R étant hermitienne, la matrice d'autocorrélation R_2 est symétrique définie positive et peut donc faire l'objet d'une factorisation de Cholesky :

$$R_2 = W_2 W_2^T \quad (13)$$

où W_2 est une matrice triangulaire inférieure de taille $2K \times 2K$.

On définit un vecteur d'observation blanchie : $\tilde{y}_2(i) = y_2(i) W_2^T$ (14)
 20 ainsi qu'un nouveau réseau de points Ω_2 constitué des vecteurs de composantes $(\tilde{x}_1^R(i), \tilde{x}_1^I(i), \dots, \tilde{x}_K^R(i), \tilde{x}_K^I(i))$ avec $\tilde{x}_2(i) = x_2(i) W_2^T$ où $x_2(i)$ est un vecteur de composantes $(x_1^R(i), x_1^I(i), \dots, x_K^R(i), x_K^I(i))$ appartenant à Λ_2 . Le réseau Ω_2 a pour matrice génératrice $A_2 W_2$, matrice réelle triangulaire inférieure.

On peut facilement montrer, qu'après blanchiment, la matrice de covariance du bruit filtré $n_2(i) W_2^T$ est égale à $N_0 I_{2K}$ où I_{2K} est la matrice identité de dimension $2K$. La détection comprend donc une première étape de blanchiment du vecteur d'observation suivie d'une étape de recherche du plus proche voisin au sein du réseau de points Ω_2 .

30 Pour réduire le nombre de points à tester, comme illustré en Fig. 1, on peut limiter la recherche à une sphère centrée autour du point \tilde{y}_2 . En pratique, le choix du rayon de la sphère résulte d'un compromis : il ne doit pas être trop grand pour ne pas conduire à un nombre de points trop élevé et suffisamment grand pour inclure au moins le plus proche voisin.

La Fig. 2 représente schématiquement un dispositif de détection multi-utilisateur utilisant une méthode de détection par sphères. Le signal reçu n est filtré par une batterie de filtres adaptés à chacun des utilisateurs, $210_1, \dots, 210_K$. Les composantes réelles et imaginaires du vecteur d'observation $y_2(i)$ en sortie des filtres adaptés sont
 5 transmises à une unité de calcul matriciel effectuant l'opération de blanchiment spectral selon la relation (14). Les composantes réelles et imaginaires du vecteur blanchi $\tilde{y}_2(i)$ sont ensuite transmises à une unité de détection par sphères recherchant le plus proche voisin du point reçu au sein du réseau Ω_2 de dimension $2.K$. Les coordonnées du plus proche voisin donnent directement les composantes réelles et
 10 imaginaires des symboles estimés $\hat{d}_k(i)$ pour les différents utilisateurs.

L'étape de la recherche du plus proche voisin est gourmande en temps de calcul ce qui peut s'avérer très pénalisant lorsque le nombre d'utilisateurs est élevé. En outre, lorsque le rapport signal à bruit est faible, il est nécessaire de choisir un grand rayon pour la sphère de recherche et le risque est élevé de devoir considérer un grand
 15 nombre de points du réseau dans l'étape de recherche.

Le but de la présente invention est de proposer une simplification de la méthode de détection par sphères notamment en présence de faible rapport signal à bruit.

L'invention est définie par une méthode de détection d'une pluralité K de symboles ($d_k(i)$) transmis par ou pour une pluralité K d'utilisateurs à partir d'un
 20 signal reçu, chaque symbole d'un utilisateur appartenant à une constellation de modulation, la méthode de détection mettant en oeuvre un réseau de points (Ξ) généré par lesdites constellations de modulation, ladite pluralité de symboles des différents utilisateurs étant représentée par un point parmi un sous-ensemble de points dudit réseau, dit constellation et le signal reçu étant représenté par un point
 25 caractéristique de ce signal, dit point reçu, translaté d'un point de ladite constellation par un vecteur de bruit (n), la méthode comprenant une étape de projection orthogonale du point reçu sur un sous-espace affine, dit de projection, parallèle ou confondu avec un sous-espace affine délimitant ladite constellation et une étape de recherche du plus proche voisin du point ainsi projeté parmi les points de ladite
 30 constellation.

Avantageusement, ledit sous-espace affine délimitant la constellation est déterminé en fonction de la position du point reçu par rapport à ladite constellation.

Selon une variante de réalisation, la recherche du plus proche voisin est limitée aux points de la constellation appartenant à une sphère centrée sur ledit point projeté.

Si le sous-espace affine de projection étant confondu avec un sous-espace affine délimitant la constellation, la recherche du plus proche voisin peut être effectuée parmi les points de la constellation appartenant audit sous-espace affine.

La recherche du plus proche voisin est avantageusement limitée aux points du sous-espace affine appartenant à une sphère dudit sous-espace centrée sur ledit point projeté.

Selon un mode avantageux de réalisation, l'étape de projection n'est effectuée que si le point reçu est éloigné de ladite constellation de plus d'une distance prédéterminée.

La présente invention trouve en particulier application à la transmission en mode DS-CDMA ou MC-CDMA. Dans ce cas, les symboles de chaque utilisateur faisant l'objet d'une multiplication par une signature de cet utilisateur avant d'être transmis sur un canal de transmission, les coordonnées du point reçu sont obtenues par une étape de filtrage adapté du signal reçu, le filtrage étant adapté aux canaux de transmission et aux signatures des différents utilisateurs.

La présente invention concerne également un dispositif de réception pour système de télécommunication DS-CDMA comprenant un dispositif de détection adapté à mettre en oeuvre la méthode de détection exposée ci-dessus.

La présente invention concerne encore un dispositif de réception pour système de télécommunication MC-CDMA comprenant un dispositif de détection adapté à mettre en oeuvre la méthode de détection exposée ci-dessus.

Les caractéristiques de l'invention mentionnées ci-dessus, ainsi que d'autres, apparaîtront plus clairement à la lecture de la description suivante faite en relation avec les figures jointes, parmi lesquelles :

La Fig. 1 représente un réseau de points utile à la méthode de détection employée dans le récepteur illustré en Fig. 2;

La Fig. 2 représente de manière schématique la structure d'un récepteur DS-CDMA multi-utilisateur utilisant une méthode de détection par sphères;

La Fig. 3 représente un exemple de constellation de modulation d'un utilisateur ;

La Fig. 4 illustre une opération préalable de projection sur la constellation selon l'invention ;

La Fig. 5 illustre un choix optimal de projection sur la constellation .

Considérons à nouveau un système de télécommunication DS-CDMA avec K utilisateurs fonctionnant en mode synchrone. Comme on l'a vu plus haut, la détection des symboles transmis par les différents utilisateurs au sens du maximum de vraisemblance peut se ramener à la recherche parmi les points d'un réseau (Ω_2) du plus proche voisin du point correspondant au signal reçu.

Dans le cas où les séquences d'étalement sont réelles ou plus généralement multiples réelles d'un même nombre complexe, on peut montrer que la recherche peut être effectuée dans un réseau de dimension réduite à K . En effet, les termes imaginaires de la matrice \mathbf{R}_2 et par suite de la matrice \mathbf{M}_2 étant nuls, on peut se ramener à un réseau de points réel Λ de dimension K et de matrice génératrice \mathbf{M} :

$$\mathbf{y}^R(i) = \mathbf{d}^R(i)\mathbf{M} + \mathbf{n}^R(i) \quad (15)$$

$$\mathbf{y}'(i) = \mathbf{d}'(i)\mathbf{M} + \mathbf{n}'(i) \quad (16)$$

où $\mathbf{y}^R(i), \mathbf{d}^R(i), \mathbf{n}^R(i)$ (resp. $\mathbf{y}'(i), \mathbf{d}'(i), \mathbf{n}'(i)$) sont les vecteurs constitués des parties réelles (resp. des parties imaginaires) des composantes de $\mathbf{y}(i), \mathbf{d}(i), \mathbf{n}(i)$;

$\mathbf{M} = \mathbf{A}\mathbf{R}$ où \mathbf{R} est la matrice constituée par les coefficients $R_{\alpha k} = \int_0^T s_{\alpha}(t)s_k(t)dt$ et \mathbf{A} est le vecteur des amplitudes des K utilisateurs. Les vecteurs d'observation $\mathbf{y}^R(i)$ et $\mathbf{y}'(i)$ appartiennent à \mathbf{R}^K . Après transformation éventuelle selon une relation du type de celle de (12), les vecteurs $\mathbf{y}^R(i)$ et $\mathbf{y}'(i)$ peuvent être considérés comme des points d'un réseau Λ de matrice génératrice \mathbf{M} corrompus par du bruit.

On montre aisément que les vecteurs de bruit $\mathbf{n}^R(i)$ et $\mathbf{n}'(i)$ ont tous deux pour matrice de covariance $N_0\mathbf{R}(i)$. \mathbf{R} étant une matrice symétrique définie positive on peut la factoriser selon une décomposition de Cholesky : $\mathbf{R} = \mathbf{W}\mathbf{W}^T$ où \mathbf{W} est une matrice réelle triangulaire inférieure de taille $K \times K$. Afin de décorrélérer les composantes de bruit, les vecteurs d'observation réels $\mathbf{y}^R(i)$ et $\mathbf{y}'(i)$ sont tout d'abord soumis à une opération de blanchiment :

$$\tilde{\mathbf{y}}^R(i) = \mathbf{y}^R(i)\mathbf{W}^{T^{-1}} \quad (17)$$

$$\tilde{\mathbf{y}}'(i) = \mathbf{y}'(i)\mathbf{W}^{T^{-1}} \quad (18)$$

Dans un deuxième temps, on recherche les plus proches voisins des vecteurs $\tilde{\mathbf{y}}^R(i)$ et $\tilde{\mathbf{y}}'(i)$ appartenant au réseau de points Ω constitué des vecteurs

5 $\tilde{\mathbf{x}}(i) = \mathbf{x}(i)\mathbf{W}^{T^{-1}}$ où $\mathbf{x}(i)$ appartient à Λ . On notera que la matrice génératrice du réseau Ω est égale à $\mathbf{A}\mathbf{W}$, matrice réelle triangulaire inférieure. D'autre part, on peut montrer facilement, qu'après blanchiment, les matrices de covariance des bruits filtrés $\mathbf{n}^R(i)\mathbf{W}^{T^{-1}}$ et $\mathbf{n}'(i)\mathbf{W}^{T^{-1}}$ sont toutes deux égales à $N_0\mathbf{I}_K$ où \mathbf{I}_K est la matrice identité de dimension K .

Lorsque les symboles de ou pour les utilisateurs sont transmis de manière asynchrone, la modélisation du système est plus complexe car il faut tenir compte du fait qu'un symbole d'un utilisateur peut interférer avec deux voire plusieurs symboles consécutifs d'un autre utilisateur. On montre dans ce cas que l'on peut se ramener à une recherche du plus proche voisin au sein d'un réseau de dimension $2.K'$ (K' dans le cas de signatures réelles) avec $K' > K$ où K' est fonction du nombre de symboles non encore estimés pouvant interférer entre eux. La détection n'est toutefois pas optimale au sens du maximum de vraisemblance.

15 Dans tous les cas, le problème est de déterminer le point \mathbf{x} d'un réseau Ξ de dimension κ le plus proche du vecteur reçu et blanchi $\tilde{\mathbf{y}}$, ce qui revient à minimiser la métrique

$$m(\tilde{\mathbf{y}}/\mathbf{x}) = \sum_{i=1}^K |\tilde{y}_i - x_i|^2 = \|\tilde{\mathbf{y}} - \mathbf{x}\|^2 \quad (19)$$

où $\tilde{\mathbf{y}} = \mathbf{x} + \boldsymbol{\eta}$, $\boldsymbol{\eta} = (\eta_1, \dots, \eta_K)$ est le vecteur de bruit et $\mathbf{x} = (x_1, \dots, x_K)$ est un point appartenant au réseau. Le vecteur de bruit $\boldsymbol{\eta}$ a des composantes réelles indépendantes suivant une distribution gaussienne de moyenne nulle et de variance N_0 .

20 On notera que le vecteur $\mathbf{y}(i)$ n'a pas besoin d'être blanchi si l'on utilise une métrique basée sur la matrice de covariance :

$$m(\mathbf{y}/\mathbf{x}) = (\mathbf{y} - \mathbf{x})\mathbf{R}^{-1}(\mathbf{y} - \mathbf{x})^T \quad (19')$$

25 On désignera par la suite, pour des raisons de simplification, \mathbf{z} le vecteur d'observation blanchi ($\tilde{\mathbf{y}}(i)$) ou non ($\mathbf{y}(i)$) et on limitera les développements ci-après à la métrique définie en (19).

30 Les points du réseau Ξ peuvent être décrits par les vecteurs $\mathbf{x} = \mathbf{b}\mathbf{G}$ où $\mathbf{b} = (b_1, \dots, b_K)$ possède des composantes b_i appartenant à l'anneau des entiers \mathbb{Z} et où \mathbf{G} est la matrice génératrice du réseau. On note $\{\mathbf{v}_1, \mathbf{v}_2, \dots, \mathbf{v}_K\}$ les lignes de la matrice \mathbf{G} . Par définition ces vecteurs forment une base du réseau.

L'ensemble des symboles émis est limité à un alphabet de taille finie $A_\kappa \subset \mathbb{Z}^\kappa$ appelé constellation. Cette constellation est déterminée par les constellations de modulation utilisées par (ou pour) les κ utilisateurs et le cardinal de l'alphabet A_κ est le produit des cardinaux des différents alphabets de modulation. On supposera que les points complexes de chacune de ces constellations possèdent des valeurs réelles et des valeurs imaginaires régulièrement réparties.

Comme on l'a vu un décodage exhaustif nécessiterait une recherche du plus proche voisin dans la totalité de A_κ . Le décodeur restreint avantageusement son calcul aux points qui sont situés à l'intérieur d'une zone de la constellation située autour du point reçu, préférentiellement à l'intérieur d'une sphère de rayon donné \sqrt{C} centrée sur le point reçu comme représenté en Fig. 1. Seuls les points du réseau situés à une distance quadratique inférieure à C du point reçu sont donc considérés pour la minimisation de la métrique (19).

En pratique, le décodeur effectue la minimisation suivante :

$$\min_{\mathbf{z} \in \Xi} \|\mathbf{z} - \mathbf{x}\| = \min_{\mathbf{w} \in \mathbf{z} - \Xi} \|\mathbf{w}\| \quad (20)$$

Pour ce faire, le décodeur recherche le plus petit vecteur \mathbf{w} dans l'ensemble translaté $\mathbf{z} - \Xi$. On peut exprimer les vecteurs \mathbf{z} et \mathbf{w} comme :

$$\begin{aligned} \mathbf{z} &= \boldsymbol{\rho} \mathbf{G} & \text{avec } \boldsymbol{\rho} &= (\rho_1, \dots, \rho_\kappa) \\ \mathbf{w} &= \boldsymbol{\xi} \mathbf{G} & \text{avec } \boldsymbol{\xi} &= (\xi_1, \dots, \xi_\kappa) \end{aligned} \quad (21)$$

Il est important de noter que $\boldsymbol{\rho}$ et $\boldsymbol{\xi}$ sont des vecteurs réels. Comme $\mathbf{w} = \mathbf{z} - \mathbf{x}$ où \mathbf{x} appartient au réseau Ξ , on a la relation $\xi_i = \rho_i - b_i$ pour $i=1, \dots, \kappa$ avec $\mathbf{w} = \sum_{i=1}^{\kappa} \xi_i \mathbf{v}_i$.

Le vecteur \mathbf{w} est un point du réseau dont les coordonnées ξ_i sont exprimées dans le repère translaté centré sur le point reçu. Le vecteur \mathbf{w} appartient à une sphère de rayon quadratique C centrée en $\mathbf{0}$ si :

$$\|\mathbf{w}\|^2 = Q(\boldsymbol{\xi}) = \boldsymbol{\xi} \mathbf{G} \mathbf{G}^T \boldsymbol{\xi} \leq C \quad (22)$$

Dans le nouveau système de coordonnées défini par $\boldsymbol{\xi}$, la sphère de rayon quadratique C centrée en \mathbf{y} est donc transformée en un ellipsoïde centré sur l'origine.

La factorisation de Cholesky de la matrice de Gram $\Gamma = \mathbf{G}\mathbf{G}^T$ donne $\Gamma = \Delta\Delta^T$, où Δ est une matrice triangulaire inférieure d'éléments δ_{ij} .

Notons que si l'on avait utilisé la métrique définie par (19'), sans blanchiment préalable de \mathbf{y} , la matrice de Gram Γ devrait être remplacée par la matrice $\mathbf{G}\mathbf{R}^{-1}\mathbf{G}^T$,
5 matrice symétrique définie positive et donc susceptible d'une factorisation de Cholesky.

Il faut également noter que si le vecteur \mathbf{y} a été blanchi, il n'y a pas lieu d'effectuer la factorisation de Cholesky car la matrice génératrice du réseau est déjà triangulaire inférieure.

10 Dans le cas où l'on n'a pas procédé au blanchiment préalable la décomposition de Cholesky est nécessaire :

$$Q(\xi) = \xi \Delta \Delta^T \xi^T = \|\Delta^T \xi^T\|^2 = \sum_{i=1}^{\kappa} \left(\delta_{ii} \xi_i + \sum_{j=i+1}^{\kappa} \delta_{ji} \xi_j \right)^2 \leq C \quad (23)$$

En posant

15

$$\begin{aligned} q_{ii} &= \delta_{ii}^2 \text{ pour } i=1, \dots, \kappa \\ q_{ij} &= \frac{\delta_{ij}}{\delta_{jj}} \text{ pour } j=1, \dots, \kappa, i=j+1, \dots, \kappa \end{aligned} \quad (24)$$

on obtient

$$Q(\xi) = \sum_{i=1}^{\kappa} q_{ii} \left(\xi_i + \sum_{j=i+1}^{\kappa} q_{ji} \xi_j \right)^2 \quad (25)$$

20 En s'intéressant tout d'abord à la plage de variations possibles de ξ_{κ} , puis en rajoutant une à une les composantes, on obtient les κ inégalités suivantes, qui définissent tous les points à l'intérieur de l'ellipsoïde :

$$\begin{aligned} q_{\kappa\kappa} \xi_{\kappa}^2 &\leq C \\ q_{\kappa-1, \kappa-1} (\xi_{\kappa-1} + q_{\kappa, \kappa-1} \xi_{\kappa})^2 + q_{\kappa\kappa} \xi_{\kappa}^2 &\leq C \\ \forall \ell \in \{1, \dots, \kappa\}, \sum_{i=\ell}^{\kappa} q_{ii} \left(\xi_i + \sum_{j=i+1}^{\kappa} q_{ji} \xi_j \right)^2 &\leq C \end{aligned} \quad (26)$$

25

On peut montrer que les inégalités (26) imposent aux composantes entières de \mathbf{b} de satisfaire à :

$$\begin{aligned}
& \left[-\sqrt{\frac{C}{q_{\kappa\kappa}}} + \rho_{\kappa} \right] \leq b_{\kappa} \leq \left[\sqrt{\frac{C}{q_{\kappa\kappa}}} + \rho_{\kappa} \right] \\
& \left[-\sqrt{\frac{C - q_{\kappa\kappa}\xi_{\kappa}^2}{q_{\kappa-1,\kappa-1}}} + \rho_{\kappa-1} + q_{\kappa,\kappa-1}\xi_{\kappa} \right] \leq b_{\kappa-1} \leq \left[-\sqrt{\frac{C - q_{\kappa\kappa}\xi_{\kappa}^2}{q_{\kappa-1,\kappa-1}}} + \rho_{\kappa-1} + q_{\kappa,\kappa-1}\xi_{\kappa} \right] \\
& \left[-\sqrt{\frac{1}{q_{ii}} \left(C - \sum_{\ell=i+1}^{\kappa} q_{\ell\ell} \left(\xi_{\ell} + \sum_{j=\ell+1}^{\kappa} q_{j\ell}\xi_j \right)^2 \right)} + \rho_i + \sum_{j=i+1}^{\kappa} q_{ji}\xi_j \right] \leq b_i \\
& b_i \leq \left[\sqrt{\frac{1}{q_{ii}} \left(C - \sum_{\ell=i+1}^{\kappa} q_{\ell\ell} \left(\xi_{\ell} + \sum_{j=\ell+1}^{\kappa} q_{j\ell}\xi_j \right)^2 \right)} + \rho_i + \sum_{j=i+1}^{\kappa} q_{ji}\xi_j \right]
\end{aligned} \tag{27}$$

où $\lceil x \rceil$ est le plus petit entier supérieur au réel x et $\lfloor x \rfloor$ est le plus grand entier inférieur au réel x .

- 5 Le décodeur possède κ compteurs internes, à savoir un compteur par dimension, chaque compteur comptant entre une borne inférieure et supérieure comme indiqué en (27), étant entendu qu'à chaque compteur est associé un couple de bornes particulier. En pratique ces bornes peuvent être mises à jour de manière récursive. On pose :

$$S_i = S_i(\xi_{i+1}, \dots, \xi_{\kappa}) = \rho_i + \sum_{j=i+1}^{\kappa} q_{ji}\xi_j \tag{28}$$

$$10 \quad T_{i-1} = T_{i-1}(\xi_i, \dots, \xi_{\kappa}) = C - \sum_{\ell=i}^{\kappa} q_{\ell\ell} \left(\xi_{\ell} + \sum_{j=\ell+1}^{\kappa} q_{j\ell}\xi_j \right)^2 = T_i - q_{ii}(\xi_i + S_i - \rho_i)^2 \tag{29}$$

$$T_{i-1} = T_i - q_{ii}(S_i - b_i)^2 \tag{30}$$

avec $T_{\kappa} = C$

A l'aide des équations (28) à (30), on détermine récursivement la plage de variation de chaque composante b_i en commençant par la composante b_{κ} :

$$15 \quad L \leq b \leq \bar{L} \tag{31}$$

$$\text{avec } L = \left\lceil -\sqrt{\frac{T_i}{q_{ii}}} + S_i \right\rceil \text{ et } \bar{L} = \left\lfloor \sqrt{\frac{T_i}{q_{ii}}} + S_i \right\rfloor \tag{32}$$

- On restreint avantageusement les plages de variation définies par (32) de manière à ne pas tester inutilement des points qui sont situés hors de la constellation. On rappelle que chaque utilisateur k utilise une constellation de symboles A_k , chaque symbole de la constellation étant un nombre complexe dont les parties réelle et imaginaire (éventuellement après transformation affine) sont des éléments de \mathbb{Z} . Plaçons nous tout d'abord dans le cas général où le réseau est de dimension $2K$, où K
- 20

est le nombre d'utilisateurs. Pour chaque utilisateur k , on considère les dimensions $2k$ et $2k-1$ portant le symbole complexe transmis par ou pour l'utilisateur k . Comme indiqué en Fig. 3, la constellation, ou de manière équivalente la constellation de modulation de l'utilisateur k est tout d'abord projetée sur la dimension $2k$. Cette projection définit un intervalle $[M_{2k}^-, M_{2k}^+]$. On définit alors l'intervalle de recherche $[B_{2k}^-, B_{2k}^+]$ où :

$$B_{2k}^- = \text{Sup}(L_{2k}, M_{2k}^-) \text{ et } B_{2k}^+ = \text{Inf}(L_{2k}^+, M_{2k}^+) \quad (33)$$

et l'on choisit un entier b_{2k} dans cet intervalle. La composante b_{2k} définit alors un intervalle $[M_{2k-1}^-, M_{2k-1}^+]$ pour la composante b_{2k-1} comme indiqué sur la Fig. 3. On définit ensuite un intervalle de recherche $[B_{2k-1}^-, B_{2k-1}^+]$ par :

$$B_{2k-1}^- = \text{Sup}(L_{2k-1}, M_{2k-1}^-) \text{ et } B_{2k-1}^+ = \text{Inf}(L_{2k-1}^+, M_{2k-1}^+) \quad (33')$$

En procédant de la sorte on est assuré de ne rechercher le plus proche voisin que parmi des candidats qui sont à la fois situés dans la sphère de recherche et des points de la constellation.

La situation est légèrement différente lorsque l'on utilise des séquences d'étalement réelles et donc lorsque le réseau est de dimension K (où K est le nombre d'utilisateurs). Dans ce cas, les valeurs réelle et imaginaire des symboles font l'objet de recherches parallèles dans un réseau (Λ, Ω) de dimension K . Le calcul des bornes de recherche (et le choix des valeurs des composantes) porte tour à tour sur la partie réelle et la partie imaginaire, de manière entrelacée.

Dans l'exemple simple où la modulation employée sur une dimension i est une modulation PAM d'ordre M , la coordonnée entière b_i du point recherché doit être comprise entre 0 et $M-1$. Les bornes de recherche sont ajustées par $B_i^- = \text{Sup}(L_i, 0)$ et $B_i^+ = \text{Inf}(L_i^+, M-1)$ de manière à ce que le compteur associé à la composante b_i ne parcoure pas des points qui sont situés en dehors de la sphère de recherche ou en dehors de la constellation. Cet ajustement des bornes de recherche permet d'accélérer considérablement l'algorithme de détection par sphères.

Un problème survient lorsque le vecteur reçu est situé en dehors de la constellation, par exemple parce que le bruit sur une ou plusieurs des liaisons est élevé. Si l'on utilise une détection par sphères classique, la sphère de recherche risque de ne contenir aucun point de la constellation. De même, si l'on utilise une détection par sphères limitée à la constellation, l'intervalle de recherche $[B_i^-, B_i^+]$ risque d'être vide pour certaines dimensions i parce que $L_i^- < M_i^-$ ou bien $L_i^+ > M_i^+$. Dans les deux cas, il faut augmenter le rayon de la sphère jusqu'à trouver un point de la

constellation, ce qui peut entraîner de nombreuses étapes de recherche inutiles et donc considérablement ralentir l'algorithme.

Lorsque la constellation a une forme parallélépipédique, par exemple lorsque les constellations de modulation des différents utilisateurs sont de type PAM ou QAM, la présente invention propose de projeter orthogonalement le point reçu sur un sous-espace affine (ou variété linéaire) délimitant ou bordant la constellation. La Fig. 4 représente schématiquement une constellation en forme de parallélogramme (ici $\kappa=2$), à droite (401) dans la base canonique de l'espace euclidien \mathbf{R}^{κ} et à gauche (402) dans la base des vecteurs générateurs du réseau. On rappelle qu'un point reçu est représenté par un vecteur \mathbf{z} dans la base canonique et par un vecteur \mathbf{p} dans la base génératrice, tel que $\mathbf{z}=\mathbf{p}\mathbf{G}$. Dans la représentation 401, l'espace \mathbf{R}^{κ} est muni de la norme euclidienne $\|\mathbf{z}\|^2 = \sum_{i=1}^{\kappa} z_i^2$ et en 402 de la norme $Q(\mathbf{p}) = \mathbf{p}\mathbf{G}\mathbf{G}^T\mathbf{p}$. Ainsi une sphère centrée sur le point reçu \mathbf{z} dans la représentation en 401 est transformée en un ellipsoïde centré sur le point reçu \mathbf{p} en 402. Comme illustré en 401, un point reçu n'appartenant pas à la constellation est d'abord projeté orthogonalement sur cette dernière ou plus généralement sur une enveloppe E de cette constellation. Le choix du sous-espace affine sur lequel l'on effectue la projection dépend de la position du point reçu. Ainsi par exemple le point M_1 appartenant à la zone I délimitée par les droites D_1, D_2, D_4 est projeté sur la droite D_1 , le point M_2 appartenant au secteur II délimité par les droites D_1 et D_2 est « projeté » sur le sommet P_{12} (c'est-à-dire que l'image de tout point appartenant à ce secteur sera le point P_{12}), le point M_3 appartenant à la zone III délimitée par les droites D_2, D_1, D_3 est projeté sur la droite D_2 , etc. Comme nous le verrons plus loin, ce choix de projection est sous-optimal. Il est cependant préféré pour sa facilité d'implémentation. Bien entendu, les différents types de sous-espaces affines sur lesquels on peut effectuer une projection dépendent de la dimension du réseau. Ainsi pour une constellation parallélépipédique générant un réseau de dimension 3, les sous-espaces affines à considérer seront les faces, les arêtes et les sommets du parallélépipède. De manière générale, pour un réseau de dimension κ , les sous-espaces affines à considérer seront de dimension $N=\kappa-L$ avec $1 \leq L \leq \kappa$.

La projection est plus facile à réaliser dans la représentation 402. En effet, si l'on note β_l les coordonnées d'un point dans la base des vecteurs générateurs du réseau, les droites D_i sont définies par les équations :

$$\beta_l = \beta_{\min, l} = M_l^- - \alpha_{\min, l} \quad \text{ou bien} \quad \beta_l = \beta_{\max, l} = M_l^+ + \alpha_{\max, l} \quad (34)$$

où $\alpha_{\min, \ell}$ et $\alpha_{\max, \ell}$ sont des valeurs réelles positives définissant les marges entre la constellation et son enveloppe. On pourra prendre les valeurs de $\alpha_{\min, \ell}$ et $\alpha_{\max, \ell}$ égales à une même valeur α . Cette valeur peut en outre être choisie nulle si l'on souhaite effectuer directement la projection sur la constellation.

5 Dans le cas général d'un réseau de dimension κ quelconque, les sous-espaces affines à considérer sont définis par L relations du type (34). Soit T^0 un tel sous-espace: tout point appartenant à ce sous-espace possède L coordonnées fixées par des relations du type (34). On peut supposer sans perte de généralité que ces L coordonnées sont les L premières et qu'elles sont fixées à la valeur maximale $\beta_{\max, \ell}$, c'est-à-dire que l'on a $\rho_{\ell} \geq \beta_{\max, \ell}$, $\ell=1, \dots, L$.

10 Soit $\mathbf{z}^P = \mathbf{p}^P \mathbf{G}$ la projection sur le sous-espace affine de dimension N du vecteur reçu \mathbf{z} . D'après (34) les coordonnées de \mathbf{p}^P sont telles que $\rho_{\ell}^P = \beta_{\max, \ell}$, $\ell=1, \dots, L$. On peut donc écrire

$$\mathbf{z}^P = \mathbf{p}^P \mathbf{G} = \mathbf{p}^0 \mathbf{B}^0 + \mathbf{k} \mathbf{B} = \mathbf{z}^0 + \mathbf{k} \mathbf{B} \quad (35)$$

15 où $\mathbf{p}^0 = (\beta_{\max, 1}, \dots, \beta_{\max, L})$ est un vecteur ligne de dimension L , \mathbf{z}^0 un vecteur ligne de dimension κ , \mathbf{k} un vecteur ligne de dimension N représentant les coordonnées libres du sous-espace vectoriel T associé au sous-espace affine T^0 , \mathbf{B}^0 une matrice de taille $(L \times \kappa)$ contenant les L premières lignes de \mathbf{G} et \mathbf{B} une matrice de taille $(N \times \kappa)$, qui contient les N dernières lignes de \mathbf{G} formant une base du sous-espace vectoriel T .

20 Autrement dit, on a $\mathbf{G} = \begin{bmatrix} \mathbf{B}^0 \\ \mathbf{B} \end{bmatrix}$ (35)

La matrice \mathbf{G} étant de rang κ , la matrice \mathbf{B} est elle-même de rang N , on peut donc définir la matrice pseudo-inverse \mathbf{B}^+ de \mathbf{B} . On se ramène au sous-espace vectoriel T par simple translation, en posant :

$$\begin{aligned} \tilde{\mathbf{z}}^P &= \mathbf{z}^P - \mathbf{z}^0 \\ \tilde{\mathbf{z}} &= \mathbf{z} - \mathbf{z}^0 \end{aligned} \quad (36)$$

On a alors :

$$\begin{aligned} \tilde{\mathbf{z}}^P &= \mathbf{k} \mathbf{B} = \tilde{\mathbf{z}} \mathbf{B}^+ \mathbf{B} = \tilde{\mathbf{z}} \mathbf{B}^H (\mathbf{B} \mathbf{B}^H)^{-1} \mathbf{B} \\ \mathbf{z}^P &= (\mathbf{z} - \mathbf{z}^0) \mathbf{B}^H (\mathbf{B} \mathbf{B}^H)^{-1} \mathbf{B} + \mathbf{z}^0 \end{aligned} \quad (37)$$

Le point correspondant au vecteur z^P est proche de la constellation et sa détection sera donc beaucoup plus rapide que celle du point initial. Le gain en rapidité de détection est surtout appréciable pour les faibles rapports signal à bruit.

Comme on l'a mentionné plus haut, le choix de projection est sous-optimal. Le
 5 choix optimal correspondrait en fait à celui illustré en Fig. 5. Les zones de choix sont délimitées par des droites orthogonales aux droites délimitant la constellation. Ainsi, les points de la zone I délimitée par les droites D'_1 et D''_1 sont projetés sur la droite D_1 , les points du secteur II délimité par les droites D''_1 et D'_2 sont « projetés » sur le point P_{12} , les points de la zone III délimitée par les droites D'_2 et D''_2 sont projetés sur
 10 la droite D_2 , etc. On a également représenté sur la Fig. 5 une enveloppe E de la constellation qui correspondrait à ce critère. Bien entendu, ce dernier se généralise à un réseau de dimension quelconque. Ainsi, pour une constellation parallélépipédique d'un réseau de dimension 3, le choix optimal correspondrait à une projection orthogonale sur une enveloppe polyédrique, le polyèdre étant en fait un
 15 parallélépipède de faces parallèles à celles de constellation et dont tous les angles sont biseautés.

Selon un second mode de réalisation de l'invention, on effectue la projection orthogonale du point reçu directement sur un sous-espace affine délimitant la constellation (par exemple sur l'une des droites D_1, D_2, D_3, D_4 ou l'un des points
 20 $P_{12}, P_{23}, P_{34}, P_{41}$ dans le cas de la Fig. 4) et l'on procède ensuite à une détection par sphères à l'intérieur ce sous-espace affine, l'avantage étant de travailler dans un espace de dimension N plus faible que la dimension κ du réseau. Pour effectuer le décodage dans le réseau contenu dans le sous-espace affine, il faut projeter le point reçu directement sur le sous espace-affine. On peut néanmoins décider de n'effectuer
 25 la projection que si le point reçu est suffisamment loin de la constellation. Les conditions de choix de projection sont donc les mêmes que précédemment.

Nous montrerons tout d'abord que les points du réseau Λ de \mathbf{R}^κ contenus dans le sous-espace affine de projection, peuvent être modélisés par des points d'un réseau Λ' de \mathbf{R}^N . Une telle modélisation permet d'effectuer le décodage par sphères dans un
 30 espace de dimension $N \leq \kappa$ et d'accélérer la détection.

S'il existe L dimensions telles que $\rho_i \leq \beta_i^-$ ou $\rho_i \geq \beta_i^+$, on fixe ces valeurs de ρ_i à M_i^- ou M_i^+ selon les cas et l'on projette le point reçu sur le sous-espace affine de dimension $N = \kappa - L$ correspondant. Sans perte de généralité, on peut faire l'hypothèse

que ces L coordonnées fixées sont les L premières et sont toutes fixées à la valeur maximale M_i^+ . On a donc $\rho_\ell \geq \beta_i^+$ pour $\ell=1, \dots, L$.

Soit $\mathbf{z}^P = \mathbf{p}^P \mathbf{G}$ la projection sur le sous-espace affine de dimension N du vecteur reçu \mathbf{z} . D'après le critère de projection \mathbf{p}^P est tel que $\rho_\ell^P = M_i^+$ pour $\ell=1, \dots, L$. On peut donc écrire :

$$\mathbf{z}^P = \mathbf{b} \mathbf{G} + \mathbf{n} = \mathbf{b}^0 \mathbf{B}^0 + \tilde{\mathbf{b}}^P \mathbf{B} + \mathbf{n} \quad (38)$$

où $\mathbf{b}^0 = (M_1^+, \dots, M_L^+) \in \mathbf{Z}^L$, $\tilde{\mathbf{b}}^P = (b_{L+1}, \dots, b_K) \in \mathbf{Z}^N$, \mathbf{B}^0 est une matrice de taille $(L \times \kappa)$ et \mathbf{B} une matrice de taille $(N \times \kappa)$ définies comme précédemment et \mathbf{n} est un vecteur de bruit.

La simplification de la détection présentée dans cette section suppose que le point finalement détecté appartient au sous-espace affine sur laquelle on a projeté le point reçu \mathbf{z} . Les L premières composantes du vecteur détecté seront donc égales à celles du vecteur \mathbf{b}^0 . On s'intéresse donc maintenant uniquement à la détection du vecteur ligne $\tilde{\mathbf{z}}^P$ appartenant au sous-espace vectoriel T et obtenu par soustraction du vecteur constant $\mathbf{z}^0 = \mathbf{b}^0 \mathbf{B}$:

$$\tilde{\mathbf{z}}^P = \mathbf{z}^P - \mathbf{z}^0 = \tilde{\mathbf{b}}^P \mathbf{B} + \mathbf{n} \quad (39)$$

La matrice \mathbf{B} contient N vecteurs de base de taille κ . $\tilde{\mathbf{z}}^P$ est donc un point bruité d'un réseau Λ' de dimension N de \mathbf{R}^κ . Pour que la méthode de détection par sphères soit directement applicable, il faut que le vecteur observé soit un point bruité d'un réseau de dimension N dans l'espace \mathbf{R}^N . Il faut donc trouver une matrice $\mathbf{B}^{P'}$ contenant N vecteurs de base de taille N et générant un réseau équivalent à celui généré par \mathbf{B} dans \mathbf{R}^κ . Soit $\mathbf{B}^{P'}$ la matrice de taille $(N \times N)$ obtenue par décomposition de Cholesky de la matrice de Gram $\mathbf{B} \mathbf{B}^T$. Cette décomposition garantit que:

$$\mathbf{B} \mathbf{B}^T = \mathbf{B}^{P'} \mathbf{B}^{P'^T} \quad (40)$$

Les deux matrices $\mathbf{B}^{P'}$ et \mathbf{B} ont la même matrice de Gram et donc la norme définie par la relation (22) est la même dans les deux cas. En outre, la matrice $\mathbf{B}^{P'}$ est triangulaire inférieure. Cette particularité permet de faire l'économie de la

décomposition de Cholesky normalement effectuée en début de la détection par sphères.

Soit \mathbf{U} la matrice de passage de taille $(\kappa \times N)$ telle $\mathbf{B}^{P_t} = \mathbf{B}\mathbf{U}$.

Montrons que $\mathbf{U} = \mathbf{B}^T (\mathbf{B}^{P_t-1})^T$. En effet, on obtient d'après (40) :

5

$$\mathbf{B}\mathbf{U} = \mathbf{B}\mathbf{B}^T (\mathbf{B}^{P_t-1})^T = \mathbf{B}^{P_t} \mathbf{B}^{P_t,T} (\mathbf{B}^{P_t-1})^T = \mathbf{B}^{P_t} \quad (41)$$

Si on note $\mathbf{x}^P = \tilde{\mathbf{b}}^P \mathbf{B}$ le vecteur ligne de taille κ représentant un point du réseau Λ' dans \mathbf{R}^K , alors $\tilde{\mathbf{x}}^P$ le vecteur ligne de taille N représentant un point du réseau dans \mathbf{R}^N s'obtient par :

10

$$\tilde{\mathbf{x}}^P = \mathbf{x}^P \mathbf{U} = \tilde{\mathbf{b}}^P \mathbf{B}\mathbf{U} = \tilde{\mathbf{b}}^P \mathbf{B}^{P_t} \quad (42)$$

On doit donc faire subir à $\tilde{\mathbf{z}}^P$ la même transformation avant détection, à savoir :

15

$$\tilde{\mathbf{z}}^P \mathbf{U} = (\tilde{\mathbf{b}}^P \mathbf{B} + \mathbf{n}) \mathbf{U} = \tilde{\mathbf{b}}^P \mathbf{B}^{P_t} + \mathbf{n}' \quad (43)$$

La matrice de covariance du vecteur de bruit \mathbf{n}' est la suivante :

20

$$E[\mathbf{n}'^T \mathbf{n}'] = \mathbf{U}^T E[\mathbf{n}^T \mathbf{n}] \mathbf{U} = N_0 \mathbf{U}^T \mathbf{U} \quad (44)$$

soit encore, grâce à l'expression de \mathbf{U} :

25

$$E[\mathbf{n}'^T \mathbf{n}'] = N_0 \mathbf{B}^{P_t-1} \mathbf{B} \mathbf{B}^T (\mathbf{B}^{P_t-1})^T = N_0 \mathbf{B}^{P_t-1} \mathbf{B}^{P_t} \mathbf{B}^{P_t,T} (\mathbf{B}^{P_t-1})^T = N_0 \mathbf{I}_N \quad (45)$$

Aucun blanchiment supplémentaire du bruit \mathbf{n}' est donc nécessaire après projection.

Les coordonnées entières non fixées (les coordonnées fixées sont données par \mathbf{b}^0) sont regroupées dans $\tilde{\mathbf{b}}^P$ et obtenues par une détection par sphères du vecteur $\tilde{\mathbf{z}}^P \mathbf{U}$.

30

Bien que l'invention ait été exposée dans le contexte d'un système de télécommunication mobile DS-CDMA, elle s'applique également à un système de télécommunication mobile MC-CDMA (*Multi-Carrier Code Division Multiple Access*).

Rappelons que la technique MC-CDMA combine la modulation OFDM (*Orthogonal Frequency Division Multiplex*) et la technique d'accès multiple CDMA. Contrairement à la méthode DS-CDMA dans laquelle le signal de chaque utilisateur est multiplié dans le domaine temporel pour étaler son spectre fréquentiel, la signature multiplie ici le signal dans le domaine fréquentiel, chaque élément de la signature multipliant le signal d'une sous-porteuse différente.

A la réception les échantillons du signal reçu sont soumis à une FFT et les signaux relatifs aux différentes sous-porteuses sont ensuite filtrés par un filtrage adapté à la signature de l'utilisateur et au canal de transmission.

On a montré dans la demande française N° 0016351 déposée le 13.12.2000 par la demanderesse et incorporée ici par référence que si l'on note $\mathbf{r}(i) = (r_1(i), \dots, r_L(i))$ le vecteur des signaux reçus sur les L différentes sous-porteuses et $\mathbf{d}(i) = (d_1(i), \dots, d_K(i))$ le vecteur des K symboles émis par ou pour les K différents utilisateurs à l'instant i , on pouvait écrire dans le cas où les utilisateurs sont reçus de manière synchrone :

$$\mathbf{r}(i) = \mathbf{d}(i) \mathbf{A} \mathbf{C}(i) + \boldsymbol{\eta}(i) \quad (46)$$

où $\mathbf{C}(i)$ est une matrice traduisant l'étalement par les signatures des différents utilisateurs et l'effet des différents canaux de transmission, $\boldsymbol{\eta}(i) = (\eta_1(i), \dots, \eta_L(i))$ est un vecteur de bruit blanc additif gaussien et \mathbf{A} est une matrice diagonale $\text{Diag}(a_1, \dots, a_K)$ formée par les amplitudes des signaux des ou pour les différents utilisateurs.

Comme indiqué dans la demande susmentionnée, on peut montrer que la connaissance du vecteur d'observation $\mathbf{y}(i) = (y_1(i), \dots, y_K(i))$ où :

$$\mathbf{y}(i) = \mathbf{r}(i) \mathbf{C}^H(i) \quad (47)$$

est suffisante pour permettre la détection au sens du maximum de vraisemblance du vecteur émis $\mathbf{d}(i)$.

On en déduit que le vecteur d'observation peut s'exprimer sous la forme:

$$\mathbf{y}(i) = \mathbf{d}(i) \mathbf{A} \mathbf{C}(i) \mathbf{C}^H(i) + \mathbf{n}(i) = \mathbf{d}(i) \mathbf{M}(i) + \mathbf{n}(i) \quad (48)$$

où $\mathbf{n}(i)$ est un vecteur de bruit coloré et $\mathbf{M}(i) = \mathbf{C}(i) \mathbf{C}^H(i)$.

Les vecteurs $y(i)$, $d(i)$, $n(i)$ ainsi que la matrice $M(i)$ figurant dans l'équation (48) sont à composantes complexes. La relation (48) peut encore s'écrire sous la forme réelle équivalente:

$$5 \quad y_2(i) = d_2(i) M_2(i) + n_2(i) \quad (49)$$

avec :

$y_2(i) = (y_1^R(i), y_1^I(i), \dots, y_K^R(i), y_K^I(i))$ où $y_k^R(i), y_k^I(i)$ sont respectivement la partie réelle et la partie imaginaire du symbole $y_k(i)$;

10 $d_2(i) = (d_1^R(i), d_1^I(i), \dots, d_K^R(i), d_K^I(i))$ où $d_k^R(i), d_k^I(i)$ sont respectivement la partie réelle et la partie imaginaire du symbole $d_k(i)$;

$n_2(i) = (n_1^R(i), n_1^I(i), \dots, n_K^R(i), n_K^I(i))$ où $n_k^R(i), n_k^I(i)$ sont respectivement la partie réelle et la partie imaginaire de $n_k(i)$;

et où M_2 est la matrice $2K \times 2K$ définie par :

$$M_2 = \begin{bmatrix} M_{11}^R & M_{11}^I & \dots & M_{1K}^R & M_{1K}^I \\ -M_{11}^I & M_{11}^R & \dots & -M_{1K}^I & M_{1K}^R \\ \vdots & \vdots & & \vdots & \vdots \\ M_{K1}^R & M_{K1}^I & \dots & M_{KK}^R & M_{KK}^I \\ -M_{K1}^I & M_{K1}^R & \dots & -M_{KK}^I & M_{KK}^R \end{bmatrix} \quad (50)$$

avec $M_{ik} = M_{ik}^R + j.M_{ik}^I$ où l'indice i a été omis pour simplifier les notations.

15

L'équation (49) a une forme identique à celle de l'équation (6) et par conséquent un algorithme de détection par sphères peut s'appliquer au vecteur d'observation, y compris la simplification proposée par l'invention lorsque le point reçu est situé en dehors de la constellation.

REVENDICATIONS

- 1) Méthode de détection d'une pluralité K de symboles $(d_k(i))$ transmis par ou pour une pluralité K d'utilisateurs à partir d'un signal reçu, chaque symbole d'un utilisateur appartenant à une constellation de modulation, la méthode de détection
5 mettant en oeuvre un réseau de points (Ξ) généré par lesdites constellations de modulation, ladite pluralité de symboles des différents utilisateurs étant représentée par un point parmi un sous-ensemble de points dudit réseau, dit constellation et le signal reçu étant représenté par un point caractéristique de ce signal, dit point reçu, translaté d'un point de ladite constellation par un vecteur de bruit (\mathbf{n}) , caractérisée en
10 ce qu'elle comprend une étape de projection orthogonale du point reçu sur un sous-espace affine, dit de projection, parallèle ou confondu avec un sous-espace affine délimitant ladite constellation et une étape de recherche du plus proche voisin du point ainsi projeté parmi les points de ladite constellation.
-
- 15 2) Méthode de détection selon la revendication 1, caractérisée en ce que ledit sous-espace affine délimitant la constellation est déterminé en fonction de la position du point reçu par rapport à ladite constellation.
- 20 3) Méthode de détection selon la revendication 2, caractérisée en ce que la recherche du plus proche voisin est limitée aux points de la constellation appartenant à une sphère centrée sur ledit point projeté.
- 25 4) Méthode de détection selon la revendication 1 ou 2, caractérisée en ce que le sous-espace affine de projection étant confondu avec un sous-espace affine délimitant la constellation, la recherche du plus proche voisin est effectuée parmi les points de la constellation appartenant audit sous-espace affine.
- 30 5) Méthode de détection selon la revendication 4, caractérisée en ce que la recherche du plus proche voisin est limitée aux points du sous-espace affine appartenant à une sphère dudit sous-espace centrée sur ledit point projeté.

6) Méthode de détection selon l'une des revendications précédentes, caractérisée en ce que l'étape de projection n'est effectuée que si le point reçu est éloigné de ladite constellation de plus d'une distance prédéterminée.

5 7) Méthode de détection selon l'une des revendications précédentes, caractérisée en ce que, les symboles de chaque utilisateur faisant l'objet d'une multiplication par une signature de cet utilisateur avant d'être transmis sur un canal de transmission, les coordonnées du point reçu sont obtenues par une étape de filtrage adapté du signal reçu, le filtrage étant adapté aux canaux de transmission et
10 aux signatures des différents utilisateurs.

8) Dispositif de réception pour système de télécommunication DS-CDMA comprenant un dispositif de détection adapté à mettre en oeuvre la méthode de détection selon l'une des revendications précédentes.

15

9) Dispositif de réception pour système de télécommunication MC-CDMA comprenant un dispositif de détection adapté à mettre en oeuvre la méthode de détection selon l'une des revendications 1 à 7.

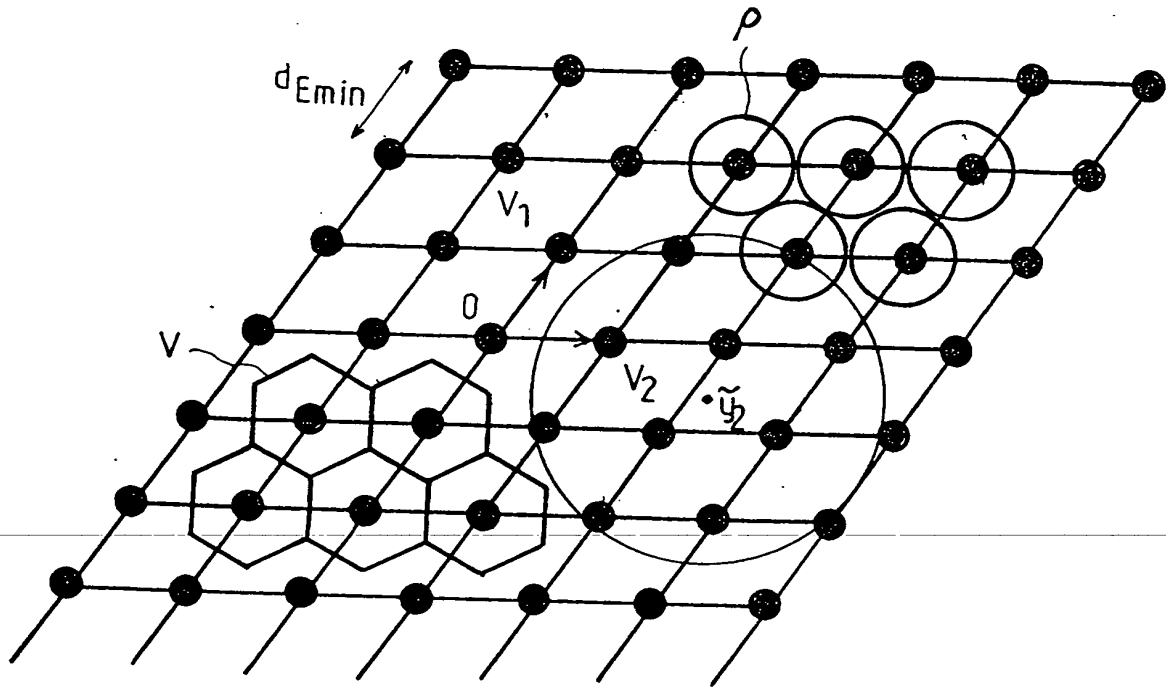
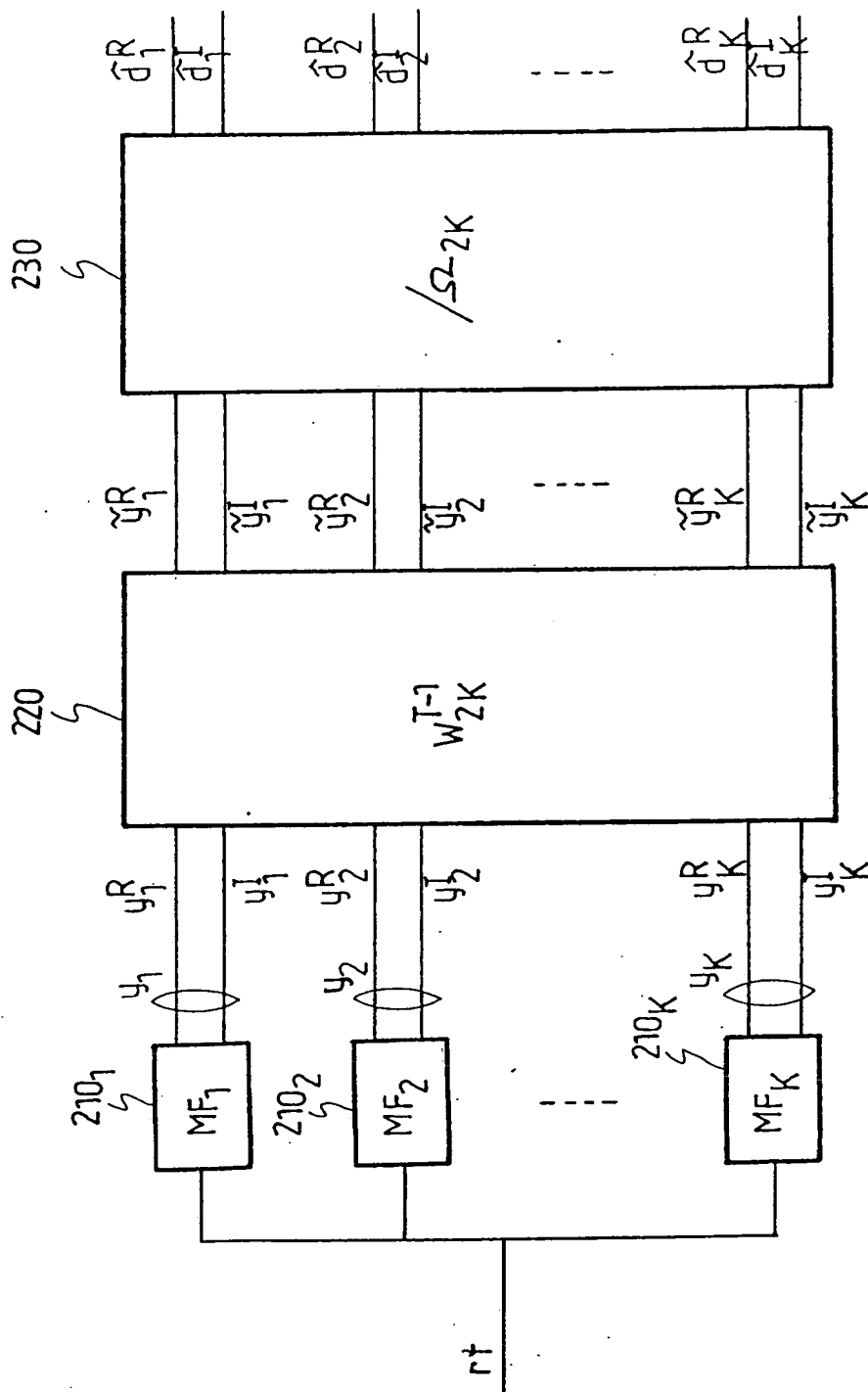
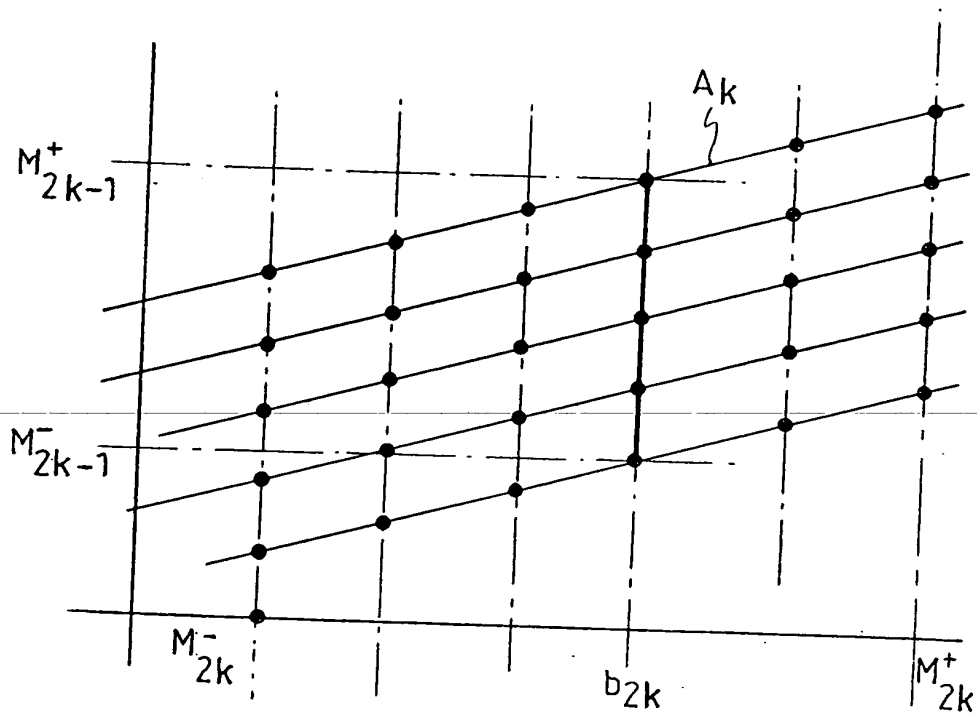


FIG. 1

FIG. 2

FIG. 3

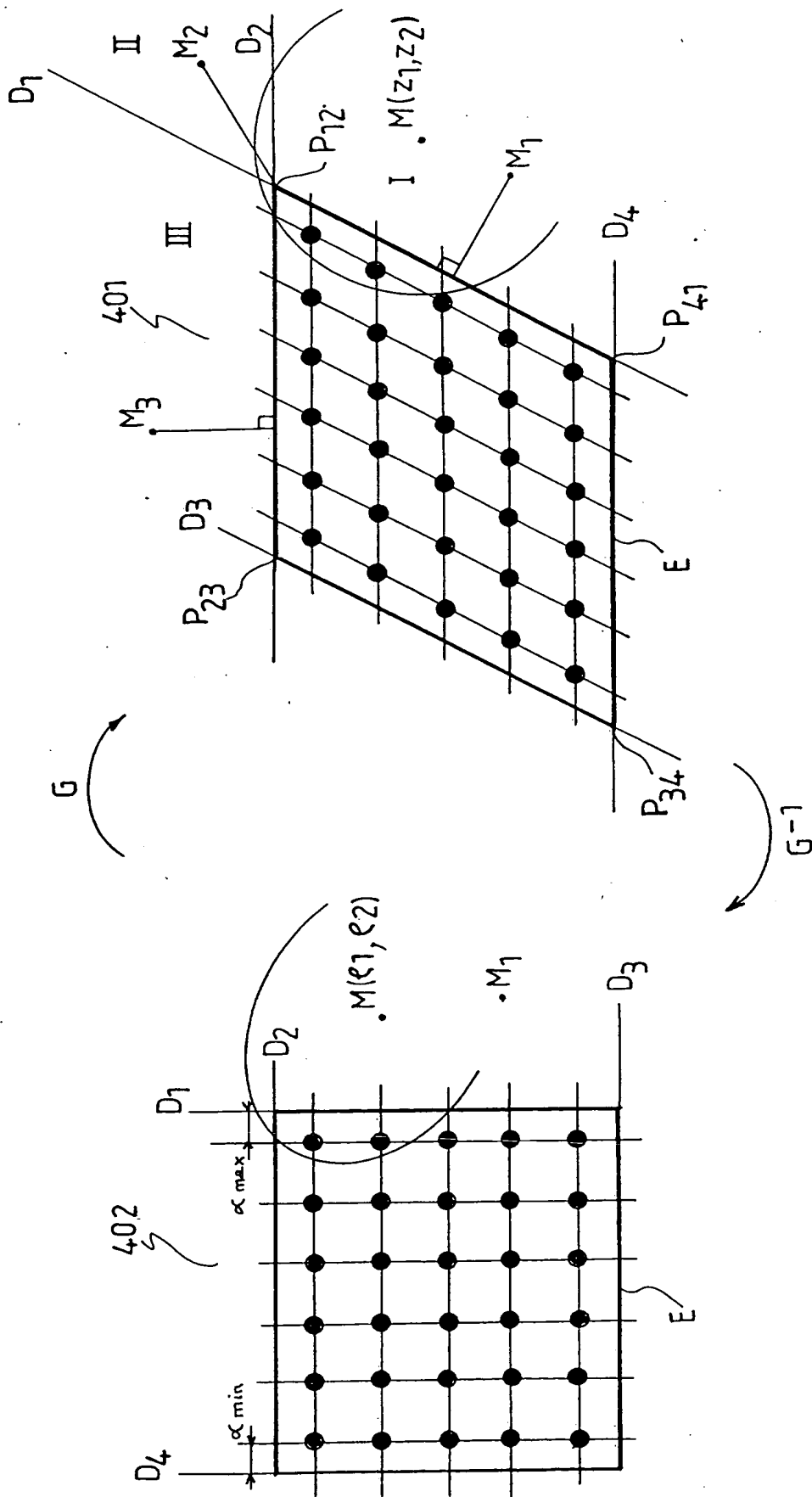


FIG. 4

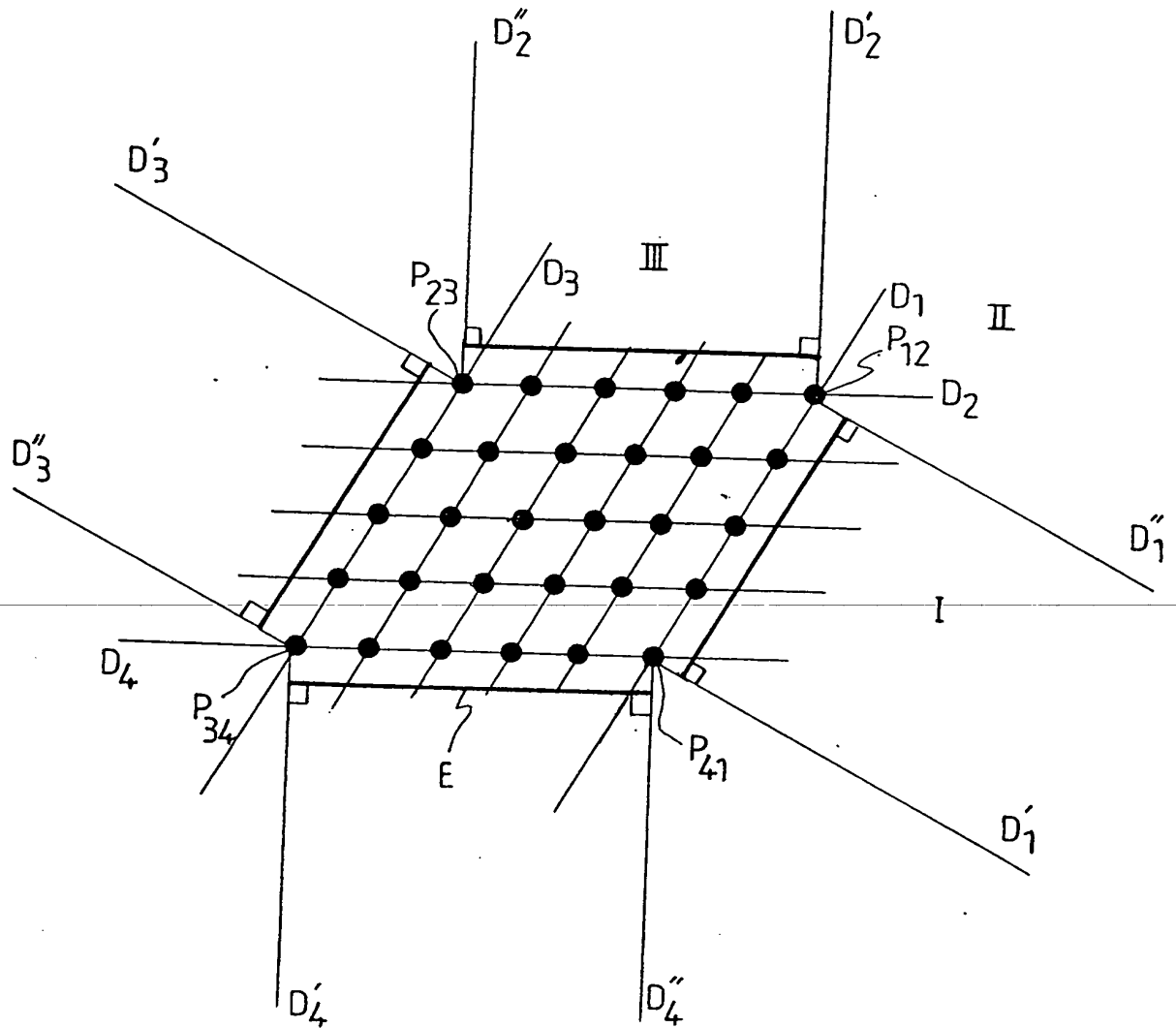


FIG. 5